

Т Р У Д Ы
ФИЗИКО-ТЕХНИЧЕСКОГО ИНСТИТУТА НИЗКИХ ТЕМПЕРАТУР
АН УССР
ФИЗИКА КОНДЕНСИРОВАННОГО СОСТОЯНИЯ

1970

выпуск X

ИЗОТЕРМЫ АДСОРБЦИИ И КОЭФФИЦИЕНТЫ РАЗДЕЛЕНИЯ
 H_2 и D_2 ПРИ НИЗКОТЕМПЕРАТУРНОЙ АДСОРБЦИИ НА
ЦЕОЛИТЕ NaA С УЧЕТОМ ОРТО-ПАРА-СОСТАВА

Ю.П.Благой, Г.Г.Жунь, Б.Н.Зимогляд, Г.О.Чуприна

Одной из наиболее важных характеристик эффективности разделения смесей при адсорбции является коэффициент адсорбционной избирательности, или коэффициент разделения S .

Исследования адсорбции изотопов водорода на одном из наиболее активных адсорбентов — цеолите NaA [1] показали, что прямое экспериментальное определение коэффициентов избирательности низкотемпературной адсорбции изотопов вследствие больших скоростей конверсии о-р-модификаций и избирательности адсорбции по отношению к ним, а также в силу больших времен установления адсорбционного равновесия при температурах жидкого водорода является весьма трудной задачей. Поэтому представляет интерес исследование другого пути определения S : вычисления коэффициентов избирательности по изотермам адсорбции индивидуальных H_2 и D_2 [2-4], измерение которых проще.

В связи с этим в настоящей работе статическим методом [4,5] в температурном интервале $25-90^{\circ}\text{K}$ измерены изотермы адсорбции H_2 и D_2 на цеолите NaA с учетом о-р-состава.

По экспериментальным изотермам адсорбции вычислены изотопные коэффициенты адсорбционной избирательности, значения которых сопоставлены, с одной стороны, с величинами S , измеренными стационарным методом [1], и, с другой стороны, с результатами расчетов, выполненных на иных основах.

Экспериментальная установка аналогична описанной в работах [6,7], но имеет ряд существенных усовершенствований, позволивших проводить измерения температурных зависимостей характеристик процесса адсорбции как статическим, так и стационарным [7] методами. Температура в адсорбере измерялась с точностью не хуже $\pm 0,1^{\circ}\text{K}$ медноконстантановой дифференциальной термопарой,

проградуированной в температурной области жидкого водорода по давлению насыщенных паров нормального водорода. Один из спаев термопары был погружен в жидкий водород, находившийся под нормальным давлением, другой непосредственно контактировал с адсорбентом, заполняющим адсорбер. Терmostатирование адсорбционной системы осуществлялось с помощью регулируемого нагревателя с точностью $\pm 0,15^{\circ}\text{K}$ в температурной области жидкого водорода и $\pm 0,25^{\circ}\text{K}$ - при высоких температурах. Во всех опытах в качестве адсорбента использовался цеолит NaA (производства ГрозНИИ) в количестве 35 г. Адсорбент подготавливался непосредственно в адсорбере, который после заполнения цеолитом откачивался при 360°C в течение 8 часов до давления $\sim 5 \cdot 10^{-3}$ мм рт.ст.

Содержание D_2 в газе, использовавшемся в адсорбционных опытах, составляло 99,8% (объем). Водород имел изотопный состав, близкий к природному. Предварительно дейтерий и водород очищали от примесей, пропуская их через активированный уголь, охлаждаемый жидким азотом.

Одно из важных достоинств экспериментальной установки состоит в том, что после достижения в адсорбционной системе равновесия последующая десорбция адсорбата могла быть проведена так быстро, что проходящая при этом конверсия о-р-модификаций была незначительной. Десорбированную смесь собирали в медный баллон, погруженный в жидкий азот.

Благодаря несущественному различию соотношений о-р-модификаций для обоих изотопов в адсорбате и в десорбированном газе, оказалось возможным определить состав первого по данным о фазовом равновесии жидкость - пар.

С этой целью, развивая работу [7], мы измерили зависимость давления насыщенных паров в системе H_2 - D_2 (нормальный дейтерий) от концентрации дейтерия и о-р-модификаций H_2 в жидкой фазе при $20,30 \pm 0,02^{\circ}\text{K}$.

При этом была подтверждена предполагавшаяся в работе [7] независимость от о-р-состава величины отклонения давления насыщенных паров растворов от идеальных значений. Точность анализа, определяющего содержание D_2 , составила $\pm 0,5\%$. Соотношение о-р-модификаций в водороде (дейтерии) определялось по разности давлений насыщенных паров D_2 - H_2 - нормального водорода - ($\text{D}_2 - \text{H}_2$) и водорода (дейтерия) исходного о-р-состава с точностью $\pm 0,8\%$ и соответственно $\pm 1\%$, т.е. так же, как и в работах [8-10].

Измерение изотерм адсорбции индивидуальных H_2 и D_2 выполнено объемным статическим методом [4,5]. Установление адсорбционного равновесия заканчивалось в зависимости от температуры и заполнения адсорбента за 15-25 минут, причем при больших дав-

лениях скорость приближения к равновесию была выше, чем при малых. Давление (P) в адсорбционных системах измерялось дифференциальными манометрами. При $P < 15$ мм рт.ст. в качестве манометрической жидкости использовался дибутилфталат, а при более высоких давлениях — ртуть. Погрешность измерения давления не превышала $\pm 0,5$ мм рт.ст.

Следует подчеркнуть, что одной из примечательных характеристик цеолита NaA , которая важна в связи с исключительно сильной избирательностью адсорбции на нем о-р-модификаций изотопов водорода, является большая скорость о-р-конверсии [1]. Известно, что адсорбция и конверсия весьма чувствительны к различным примесям. Поэтому для достижения более высокой воспроизводимости результатов измерений адсорбент перед измерениями каждой изотермы откачивался при одновременном нагревании.

В предварительных экспериментах для измерения изотерм адсорбции использовались водород и дейтерий "нормального" о-р-состава. При этом оказалось, что адсорбционное равновесие водорода достигается значительно быстрее, чем дейтерия. Поскольку установлено, что адсорбция о-р-модификаций изотопов водорода на цеолите NaA сопровождается значительной конверсией, а для о-р-модификаций дейтерия скорость последнего процесса значительно меньше, чем для водорода, естественно было предположить, что о-р-конверсия дейтерия лимитирует скорость приближения к адсорбционному равновесию.

Эксперименты, поставленные для выяснения роли о-р-конверсии в установлении равновесия, подтвердили вышеизведенное предположение. Так, замена "нормального" соотношения о-р-модификаций на равновесные (по отношению к температурам измерения изотерм) существенно не повлияла на кинетику и величину адсорбции в случае водорода. Напротив, для дейтерия значительно возросла скорость установления адсорбционного равновесия и, вероятно, несколько уменьшилась величина адсорбции.

Независимость величины адсорбции водорода от исходного о-р-состава и одновременно ее избирательность по отношению к о-р-модификациям означает, что в равновесном адсорбате и о-р-состав является равновесным независимо от того, каким он был первоначально, что подтверждается анализом о-р-состава десорбированного водорода. Таким образом, измеренные в данной работе изотермы адсорбции относятся не к нормальному водороду, а к равновесному соотношению о-р-модификаций ($e - H_2$) и температуре соответствующей изотермы адсорбции. То же справедливо и для изотермы адсорбции D_2 . Но, как оказалось, дейтерий с равновесным для нужной температуры соотношением о-р-мо-

дификаций ($e - D_2$) рационально получать путем конверсии $p - D_2$ на цеолите NaA . Обычно на приготовление $e - D_2$ уходило до 3-х часов. Относительная погрешность определения величины адсорбции составила $\pm 1,5\%$.

Результаты измерений изотерм адсорбции $e - H_2O$ и $e - D_2$ на цеолите NaA в температурном интервале $25-90^{\circ}K$ приведены на рис.1 и 2.

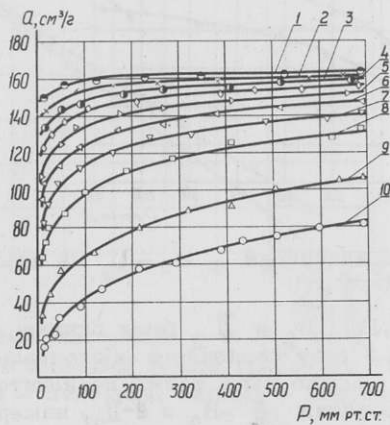


Рис. 1. Изотермы адсорбции $e - H_2$ на цеолите NaA .

Величина A дана для нормальных условий. Здесь и на рис.2 обозначения относятся к следующим изотермам: $1-25^{\circ}$, $2-30^{\circ}$, $3-35^{\circ}$, $4-40^{\circ}$, $5-45^{\circ}$, $6-50^{\circ}$, $7-55^{\circ}$, $8-62^{\circ}$, $9-77,4^{\circ}$, $10-90^{\circ}K$.

Вид представленных на рис.1 и 2 графиков сходен с изотермами адсорбции на цеолитах, которые ранее исследовались рядом авторов [2,4,11], но в менее широком температурном интервале ($62-90^{\circ}K$) и, в сущности, без учета влияния о-р-состава.

Как видно из рис. 1 и 2, изотермы адсорбции и $e - H_2$ и $e - D_2$ имеют специфический для цеолитов "Г-образный" вид — крутой участок графика при малых давлениях, резко переходящий в пологое плато.

Типична и температурная эволюция формы изотермы: с понижением температуры растет крутизна начального участка графика. Качественное согласие наших данных с результатами, полученными без учета адсорбционных эффектов о-р-модификаций, вполне закономерно, поскольку вблизи области температур жидкого азота и коэффициенты разделения, и обусловленные конверсией изменения соотношения о-р-модификаций невелики. Кроме того, по-ви-

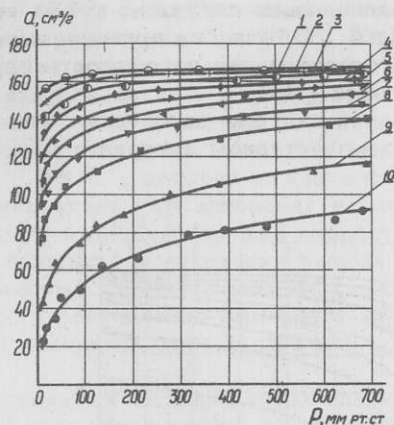


Рис. 2. Изотермы адсорбции $e\text{-D}_2$ на цеолите NaA .

димому, в работах [4,11] H_2 и D_2 были близки к равновесному о-р-составу. Именно в силу последнего обстоятельства количественное расхождение должно быть также незначительным. Действительно, величины адсорбции $e\text{-H}_2$ и $e\text{-D}_2$, измеренные нами, например, при $77,4^\circ\text{K}$, превосходят не более чем на 8% значения, приведенные в работах [4,11]. Отметим, что одна из причин расхождения могла быть обусловлена различием адсорбционных свойств образцов цеолита NaA , использовавшихся в сопоставляемых работах.

Представляет интерес нахождение аналитического вида изотерм адсорбции с целью определения адсорбционных характеристик. Известно, что к настоящему времени еще отсутствует удовлетворительная теория адсорбции на цеолитах. Однако установлено, что изотермы адсорбции на цеолитах в ряде случаев хорошо описываются уравнением Дубинина-Радушкевича:

$$a = a_0 \exp \left\{ -B T^2 \left[\ln \frac{P_{kp}}{P} \tau^2 \right] \right\}, \quad (1)$$

где $a_0 = W_0 / b$, a — величина адсорбции, W_0 — предельный объем адсорбционного пространства, b — константа Ван-дер-Ваальса, a_0 — максимальная величина адсорбции, B — структурная постоянная, характеризующая адсорбент (коэффициент аффинности b включен в величину B), P_{kp} — критическое давление, $\tau = T/T_{kp}$ — введенная температура.

В случае выполнения уравнения (1) график, построенный в

координатах $\lg a - \left(T \lg \frac{P_{kp}}{P} \tau^2 \right)^2$ представляет собой прямую линию, инвариантную относительно температуры. Как видно из рис. 3, изотермы адсорбции e^-H_2 и e^-D_2 весьма хорошо

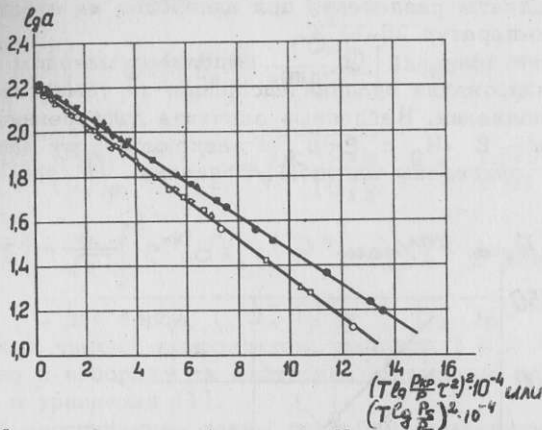


Рис. 3. Изотермы адсорбции e^-H_2 и e^-D_2 на цеолите NaA в линейной форме уравнения (1). Верхняя прямая — дейтерий, нижняя — водород.

описываются уравнением (1) при всех температурах и давлениях, при которых проводились измерения. В таблице приведены значения констант уравнения (1) для H_2 и D_2 , вычисленные по графикам на рис. 3.

Таблица

Значения констант уравнения (1) для цеолита NaA

| | | |
|------------------------------------|---------------------------|------|
| $(a_0)_{D_2}$ | $N \text{ см}^3/\text{г}$ | 171 |
| $(a_0)_{H_2}$ | $N \text{ см}^3/\text{г}$ | 165 |
| $10^B \cdot B_{D_2}$ | | 3,36 |
| $10^B \cdot B_{H_2}$ | | 3,85 |
| $\beta = \sqrt{B_{H_2} / B_{D_2}}$ | | 1,07 |

Из сопоставления данных для e^-H_2 и e^-D_2 , приведенных на рис. 1, 2, 3 и в таблице, следует, что дейтерий адсорбируется лучше водорода и в том же соотношении находятся их максималь-

ные величины адсорбции.

Отметим согласие этих результатов с выводами работы [4]. По изотермам адсорбции $e - H_2$ и $e - T_2$ рассчитаны значения дифференциальной теплоты адсорбции ($Q_{\text{диф.}}$) и интегральные изотопные коэффициенты разделения при адсорбции на цеолите NaA в интервале температур 25–78°К.

Вычисление значений $Q_{\text{диф.}}$ выполнено методом графического дифференцирования величин адсорбции по температуре при постоянном заполнении. Найденные значения дифференциальной теплоты адсорбции $e - H_2$ и $e - T_2$ в зависимости от заполнения цеолита NaA приведены на рис. 4. Величина $Q_{\text{диф.}}$ для T_2

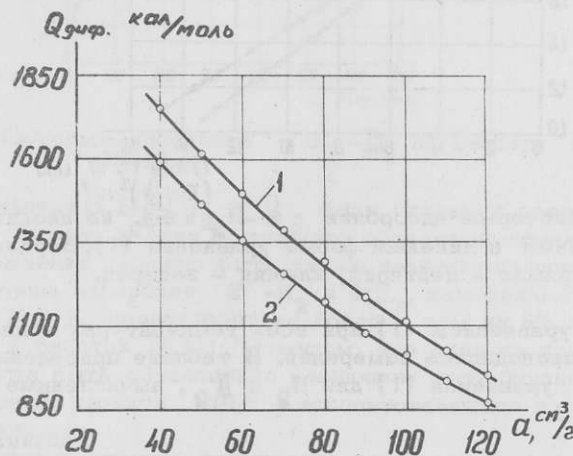


Рис. 4. Зависимость дифференциальной теплоты адсорбции на цеолите NaA от степени заполнения.

при постоянном заполнении больше, чем для H_2 , и с увеличением заполнения эта разность уменьшается, что находится в согласии с преимущественной адсорбцией дейтерия из смеси T_2 и H_2 и уменьшением коэффициента адсорбционной избирательности с ростом заполнения. Температурная зависимость изотопного коэффициента разделения T_2 и H_2 рассчитана при $P = 300$ мм рт.ст. на основе экспериментальных изотерм адсорбции по уравнению (2), полученному в работе [12] при условии выполнения (1) :

$$\frac{(S-1)\lambda}{S-\lambda} \ln \frac{S}{\lambda} = \frac{\lambda+1}{2} \left[\ln \frac{P_1^*}{P_2^*} + \frac{1}{T\sqrt{B_2}} - \frac{1}{T\sqrt{B_1}} \right] + \quad (2)$$

$$+ \frac{\sqrt{\pi}}{2(\alpha_1^\circ)_p} \left\{ \frac{(\alpha_0)_2}{T\sqrt{B_2}} [1 - erf(t'_2)] - \frac{(\alpha_0)_1}{T\sqrt{B_1}} [1 - erf(t'_1)] \right\},$$

где $t'_1 = \sqrt{\ln \frac{(\alpha_0)_1}{(\alpha_1^\circ)_p}}, \quad t'_2 = \sqrt{\ln \frac{(\alpha_0)_2}{(\alpha_2^\circ)_p}}, \quad \lambda = \left(\frac{\alpha_2^\circ}{\alpha_1^\circ} \right)_p,$

$$erf(t) = \frac{2}{\sqrt{\pi}} \int_0^t e^{-x^2} dx, \quad P^* = P_{kp} \tau^2 \text{ - для газов}$$

и $P^* = P_s$ - для паров, $(\alpha_1^\circ)_p$ и $(\alpha_2^\circ)_p$ - величины адсорбированных чистых компонентов; индексы 1 и 2 относятся соответственно к водороду и дейтерию; остальные обозначения те же, что и в уравнении (1).

На рис.5 рассчитанная таким способом температурная зависимость S (кривая 1) сопоставлена с экспериментальными данными, полученными нами стационарным методом, и с результатами расчета, выполненного иными методами (кривые 2,3,4).

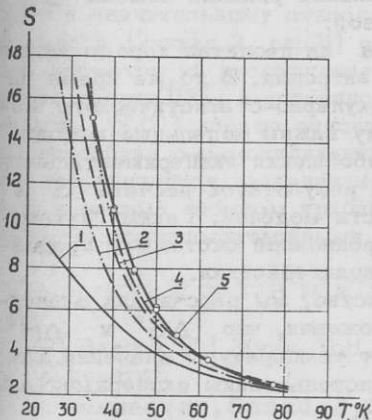


Рис. 5. Температурная зависимость изотопного коэффициента разделения H_2 и D_2 на цеолите NaA при $P = 300$ мм рт.ст.

Вычисленные зависимости :

1 - по ур. (2),

2,3 - по [13] без учета и соответственно с учетом конверсии о-р-модификаций при адсорбции,

4 - по ур. (3),

5 - экспериментальные данные.

Как видно из рис.5, экспериментальная температурная зависимость S и вычисленная в приближении [12] удовлетворительно согласуются лишь при температурах жидкого азота, где, например, при $77,4^{\circ}\text{K}$ расхождение между коэффициентами разделения составляет около 7%. С понижением температуры отношение экспериментальных значений S к расчетным быстро возрастает и при 35°K составляет $\sim 2,3$.

В работе [4] подобный метод расчета S дал хорошее согласие с экспериментальными значениями для температурного интервала $75\text{--}90^{\circ}\text{K}$. Последний результат, близкий к полученному нами для этой температурной области, связан, по-видимому, с тем обстоятельством, что эффекты избирательной адсорбции о-р-модификаций малы.

Известно, что вследствие сложности адсорбционных процессов термодинамический подход является наиболее распространенным способом исследования адсорбции. Для цеолитов применение термодинамики оправдано тем, что многие закономерности, характерные для этих адсорбентов, в том числе и их высокая избирательность, отчетливо отражаются в энтропии и энタルпии адсорбционного процесса:

$$\lg S = \Delta S^{\circ}/2,3R - \Delta H^{\circ}/2,3RT, \quad (3)$$

где ΔS° и ΔH° – энтропия и энталпия реакции обмена D_2 и H_2 между адсорбатом и газовой фазой.

Для адсорбции изотопов водорода на цеолитах хорошо известна важная, часто определяющая роль энтропии. В то же время не существует удовлетворительного молекулярно-статистического метода расчета значений ΔS° . Поэтому важны модельные методы, в основе которых лежат результаты обобщения экспериментальных данных об адсорбции. Мера согласия результатов расчета S и эксперимента – критерий реалистичности моделей. Таким путем иногда удается уточнить модель адсорбционной системы и предварительно вычислить адсорбционные характеристики.

Учитывая отмеченное обстоятельство, мы рассчитали зависимость S от температуры в предположении, что ΔS° и ΔH° сохраняют постоянные, независящие от температуры значения. Для вычисления значений ΔS° и ΔH° использованы экспериментальные значения S при $77,4^{\circ}\text{K}$ и 62°K .

На рис.5 результаты этого расчета представлены кривой 4. Следует подчеркнуть хорошее согласие этих результатов с экспериментом. Отчасти оно может быть обязано корректности учета адсорбционной избирательности о-р-модификаций, но удивительно,

что значение ΔS° в таком широком температурном интервале остается постоянным.

В этой связи представляется интересным вычисление температурной зависимости S по квантовой теории Уайта-Лессетра [18]. В работе [12] такой расчет выполнен для температурного интервала 62–90°К в однопараметрическом варианте теории [13]. Вопреки тому, что в теории адсорбированный газ рассматривается как идеальный (а это, очевидно, несомненно по меньшей мере с корректным вычислением энтропии адсорбции), обнаружено хорошее согласие экспериментальной и теоретических зависимостей $S(T)$. Заметим, что в этом случае согласие достигнуто, несмотря на то, что в теоретических вычислениях [12] и в эксперименте, с результатами которого проведено сопоставление [14], на наш взгляд, недостаточно корректен учет адсорбционной избирательности о-р-модификаций.

Ввиду этого, результаты сопоставления в значительно более широком интервале, особенно в области более низких температур, где адсорбированная избирательность о-р-модификаций велика, имеют важное значение. Как видно из рис.5, рассчитанная в таком приближении зависимость $S(T)$ с учетом избирательной адсорбции о-р-модификаций (кривая 3) хорошо согласуется с опытными результатами, а пренебрежение о-р-составом изотопов приводит к значительному отклонению вычисляемой температурной зависимости (кривая 2, рис.5) от экспериментальной. Таким образом, несмотря на расхождение между допущениями, лежащими в основе теории [13], и особенностями адсорбции на цеолитах, зависимость $S(T)$ хорошо описывается теорией с учетом избирательной адсорбции о-р-модификаций. Напротив, вычисление адсорбционных коэффициентов разделения по изотермам адсорбции H_2 и D_2 , даже в весьма сложном приближении (2), не дает хорошего согласия с экспериментальными результатами.

ЛИТЕРАТУРА

1. Ю.П.Благой, Г.Г.Жунь, Б.Н.Зимогляд, Г.О.Чуприна, ДАН СССР (в печати).
2. D.Basmadjian, Canad.J.Chem., 38, 141, 1960.
3. W.K.Lewis, E.R.Gilliland, B.Chertow, Industr.and Engng.Chem., 42, 1359, 1960.
4. В.Е.Кочурихин, Я.Д.Зельвенский, Ж.фiz.химии, 38, 2594, 1964.
5. Г.М.Панченков, А.М.Толмачев, Г.В.Зотова, Ж.физ.химии, 38, 1961, 1964.